

Известия НАН Армении, Физика, т.58, №4, с.576–584 (2023)

УДК 515; 543.2

DOI:10.54503/0002-3035-2023-58.4-576

## ФОРМИРОВАНИЕ ПОЛОС ЛЮМИНЕСЦЕНЦИИ ИОНОВ $\text{Ce}^{3+}$ В КРИСТАЛЛАХ YAG:Ce

Т.И. БУТАЕВА\*, К.Л. ОВАНЕСЯН, А.В. ЕГАНЯН

Институт физических исследований НАН Армении, Аштарак, Армения

\*e-mail: tbutaeva@gmail.com

(Поступила в редакцию 15 сентября 2023 г.)

Рассмотрены спектральные особенности и структурные факторы, влияющие на формирование полос люминесценции  $\text{Ce}^{3+}$  ионов в кристаллах YAG:Ce. Определены энергетические уровни  $4f$  оболочки ионов  $\text{Ce}^{3+}$ , занимающих как додекаэдрические, так и октаэдрические узлы кристаллической решетки. Показано участие ионов  $\text{Ce}^{3+}$  и ионов  $\text{Ce}^{3+}\text{Al}$  в структуре полосы люминесценции и определена многоцентровая структура ионов  $\text{Ce}^{3+}$  в  $4f \leftrightarrow 5d$  переходах активатора.

### 1. Введение

При необходимости использования быстродействующих сцинтилляторов при высоких температурах, либо при исследовании агрессивных сред, перспективны лёгкие кислородсодержащие кристаллы, в частности YAG:Ce. Механическая и химическая стойкость, высокий световой выход (20000–24000 ф/МэВ) и короткое время высовечивания (70 нс) [1–3] этих кристаллов позволяет использовать их в качестве сцинтилляторов во многих областях и, в частности, для регистрации гамма и рентгеновского излучения.

Сцинтилляция кристаллов YAG:Ce определяется структурой энергетических уровней ионов  $\text{Ce}^{3+}$ , обеспечивающей видимое излучение кристалла на интерконфигурационном  $4f^0 5d^1 \rightarrow 4f^1 5d^0$  переходе активатора.  $5d$  состояние иона  $\text{Ce}^{3+}$ , в кубическом кристаллическом поле YAG:Ce, расщепляется на пять уровней, обусловленных дуплетом  $^5D_{3/2}$  и триплетом  $^5D_{5/2}$ . В настоящее время, к переходам с участием нижних возбуждённых уровней состояния  $5d$  отнесены полосы поглощения на 459, 340, ~220 и ~205 нм [4–6]. В работе [6] предполагается, что пятый уровень иона  $\text{Ce}^{3+}$  находится в зоне проводимости кристалла.

Идеальная структура кристалла граната YAG:Ce подразумевает частичное замещение додекаэдрических ионов  $\text{Y}^{3+}$  ионами  $\text{Ce}^{3+}$ , а октаэдрические и тетраэдрические узлы заняты ионами  $\text{Al}^{3+}$ . Однако, реальная структура кристалла далека от совершенства, что связано с особенностями методов их выращивания и чистотой исходной шихты. И, чем сложнее состав кристалла, тем более разнообразны способы замещения ионами тех или иных узлов кристаллической решетки, что напрямую отражается на спектральном поведении активатора. Так, например, в процессе выращивания кристаллов YAG:Ce происходит существенное увеличение количества дефектов  $\text{Y}_{\text{Al}}$ , связанных с неэквивалентными замещени-

ями, которые приводят к увеличению параметра элементарной ячейки и вероятности вхождения ионов  $\text{Ce}^{3+}$  в кристалл. В кристаллах LuAG:Ce, основываясь на результатах ЭПР и спектрально-люминесцентного анализа [7–9] и в кристаллах YAG:Ce [10] были идентифицированы центры  $\text{Ce}^{3+}$  и  $\text{Ce}^{3+}\text{Al}$  и,искажённые ближайшим дефектом ( $d$ ), центры  $\text{Ce}^{3+}\text{Al}-d$ . Наличие коротковолнового дуплета в области ~217–238 нм и длинноволнового триплета в области ~260–320 нм этих центров показало, что энергетическое положение полос возбуждения соответствует октаэдрическому окружению активатора.

Влияние  $\gamma$ -облучения на кристаллы YAG:Ce (0.1 и 0.2 ат%) [10], выращенные методом Бриджмена, показало, что в  $\gamma$ -наведённых спектрах кристаллов наблюдается почти в 10 раз более интенсивное поглощение центров  $\text{Ce}^{4+}\text{Al}$  на 300 нм, чем в не активированном кристалле. В выращенном кристалле с низким содержанием ионов Ce (0.1 ат%), весьма заметная доля от реальной концентрации активатора стабилизируется в состоянии  $\text{Ce}^{4+}$ , увеличивая количество дырочных ловушек в ближайшем окружении отмеченного иона. При этом часть этих ловушек (3–6 ат%) стабилизируется вблизи октаэдрических  $\text{Ce}^{4+}\text{Al}$  узлов кристалла. В кристалле YAG:Ce (0.2 ат%) лишь 0.75 % ионов Ce, т.е. 0.0015 ат% находится в состоянии  $\text{Ce}^{4+}$ , однако, при этом фиксировалось вдвое большее количество  $\text{Ce}^{4+}\text{Al}$ -дефектов. Повышенное содержание  $\text{Ce}^{4+}\text{Al}$  в выращенных кристаллах YAG:Ce (0.2 ат%) стабилизирует большее количество зарядовых ловушек вблизи этих дефектов и приводит к упорядочению ближайшего окружения додекаэдрического узла иона  $\text{Ce}^{3+}$ . В работе [12], с использованием EXAFS-спектроскопии, было показано, что собственные и примесные точечные дефекты в кристаллах YAG будут, прежде всего, адаптироваться за счет образования антицентров, а не вакансий или междуузлий в решетке.

Цель данного исследования – определение спектральных особенностей полосы люминесценции ионов  $\text{Ce}^{3+}$  в кристаллах YAG:Ce, обусловленной межконфигурационными переходами активатора  $4f^15d^0 \rightarrow 4f^05d^1$ .

## 2. Используемые материалы и методы исследования

Монокристаллы YAG:Ce были выращены методом вертикальной направленной кристаллизации (метод Бриджмена) [13] в молибденовых контейнерах диаметром 14 мм в инертно-восстановительной среде ( $\text{Ar}/\text{H}_2$  10 об%) со скоростью 1–1.5 мм/час на затравки, ориентированные вдоль кристаллографической оси  $<100>$ . Выращивание кристаллов проводилось из стехиометрических расплавов с ионами высокочистых оксидов  $\text{Y}_2\text{O}_3$ ,  $\text{CeO}_2$  (99.99%) и кристаллического  $\text{Al}_2\text{O}_3$  (99.95%).

Абсорбционно-люминесцентные исследования проводились с использованием спектрофотометров SPECORD M40 ( $54000\text{--}11000\text{ см}^{-1}$ ), SPECORD M80 ( $2000\text{--}400\text{ см}^{-1}$ ) и спектрометра ДФС-24 (360–800 nm). Люминесценция возбуждалась галогенными лампами (“PHILIPS”, 100 Вт) с использованием оптических фильтров. Возбуждающее излучение фокусировалось собирающей линзой на плоской поверхности кристалла, перпендикулярной направлению регистрации полученного излучения, которое, посредством кварцевого световода, подавалось на входную щель спектрометра.

### 3. Экспериментальные результаты и обсуждение

Полосы люминесценции  $\text{Ce}^{3+}$  ионов в кристаллах со структурой граната, в первую очередь обусловлены энергетическим положением и структурой  $4f$  уровней основного  $^2F_{5/2}$  и возбужденного  $^2F_{7/2}$  состояний, а также уровней оболочки  $5d$ . В этой связи были подробно рассмотрены как внутриконфигурационные ( $4f \rightarrow 4f$ ), так и межконфигурационные переходы ( $4f^1 5d^0 \leftrightarrow 4f^0 5d^1$ ), которые позволили определить особенности формирования полос люминесценции в том или ином кристалле.

#### 3.1. Внутриконфигурационные переходы ( $4f \rightarrow 4f$ ).

Часть полос поглощения кристалла YAG:Ce (0.66 ат%) находится на краю валентной зоны, которая заметно сдвинута в сторону высоких энергий, по сравнению с неактивированным кристаллом YAG (рис.1). Интенсивность внутриконфигурационных  $4f \rightarrow 4f$  ( $^2F_{5/2} \rightarrow ^2F_{7/2}$ ) полос поглощения на  $\sim 2.7$  порядка меньше, чем интенсивность поглощения полос межконфигурационных  $4f \rightarrow 5d$  переходов. Рассматриваемые переходы относятся к запрещённым переходам и наблюдаются, в основном, в результате вынужденных электродипольных переходов [14], связанных с нецентросимметричными взаимодействиями примесного иона с кристаллическим окружением. Полуширина наиболее интенсивной полосы поглощения составляет  $\sim 29$   $\text{см}^{-1}$ . Непосредственно перед основным спектром  $^2F_{5/2} \rightarrow ^2F_{7/2}$  перехода иона  $\text{Ce}^{3+}$  в кристалле YAG:Ce также присутствует слабоинтенсивный и узкий дополнительный спектр, который ассоциируется с поглощением октаэдрических ионов  $\text{Ce}^{3+}_{\text{Al}}$ . Повышение концентрации  $\text{Ce}^{3+}$  ионов увеличивает количества как додекаэдрических узлов, где ион  $\text{Ce}^{3+}$  замещает ион  $\text{Y}^{3+}$ , так и октаэдрических, где ион  $\text{Ce}^{3+}$  замещает ион  $\text{Al}^{3+}$ , что способствует увеличению параметра элементарной ячейки кристалла (табл.1).

Табл.1. Координационные числа и ионные радиусы [15] элементов кристалла YAG:Ce, концентрация ионов  $\text{Ce}^{3+}$  и параметр элементарной ячейки ( $a_0$ ) YAG:Ce

Ион	К. ч.	Радиус, $\text{\AA}$	К. ч.	Радиус, $\text{\AA}$	Кристалл		
					Состав	Концентрация ионов $\text{Ce}^{3+}$ , ат%	$a_0$ , $\text{\AA}$
$\text{Ce}^{3+}$	6	1.01	8	1.14			
$\text{Ce}^{4+}$	6	0.80	8	0.97			
$\text{Y}^{3+}$	6	0.9	8	1.019	YAG:Ce	0.11	12.005
$\text{Al}^{3+}$	6	0.53				0.66	12.012

Для подтверждения наличия в кристалле октаэдрических ионов  $\text{Ce}^{3+}$  было проведено сравнительное рассмотрение спектров кристаллов YAG:Ce (0.66 ат%) и GdScAG:Ce (2.5 ат% в расплаве), нормированных на величины первых, наиболее интенсивных полос (рис.2).

Как следует из спектров, представленных на рис.2, полосы поглощения ионов  $\text{Ce}^{3+}$ , занимающих додекаэдрические позиции рассматриваемых кристаллов, смещены друг относительно друга в зависимости от энергии связи иона  $\text{Ce}^{3+}$  в додекаэдрическом узле. По сравнению с кристаллом YAG:Ce, полосы поглощения ионов  $\text{Ce}^{3+}$  в кристалле GdScAG:Ce смещены в низкоэнергетическую область из-за сравнительно большего объёма отмеченного узла. В высокоэнергетической области наблюдаются спектры поглощения, которые могут быть отнесены к

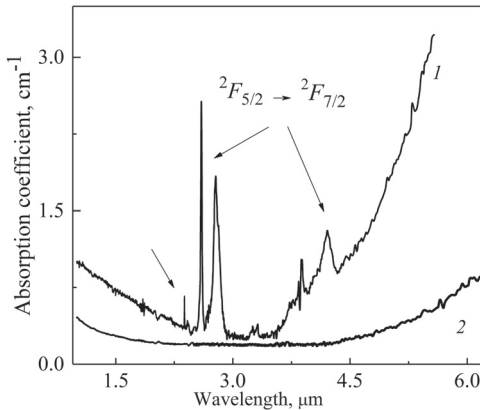


Рис.1. Спектры поглощения кристаллов: 1 –YAG:Ce (0.66 ат%) и 2 – YAG в области  $4f \rightarrow 4f$  переходов ионов Ce<sup>3+</sup>. Положение полос октаэдрических ионов Ce<sup>3+</sup> отмечено стрелкой в области 2.3–2.5 мкм. Двумя стрелками отмечено поглощение додекаэдрического узла.

спектрам ионов Ce<sup>3+</sup>, занимающих октаэдрические позиции (рис.2б, область спектров 1, 2 и 3). Максимальная интенсивность этих полос для центров 1 составляет  $\approx 21\%$  от интенсивности нормированных на единицу основных полос поглощения. Неожиданным оказалось полное совпадение спектрального распределения октаэдрических центров 1 в обоих кристаллах (рис.2б). Подобное совпадение означает, что в кристаллах GdScAG:Ce обнаруживается такая же доля ионов Ce<sup>3+</sup>, занимающих октаэдрические позиции, как и в YAG:Ce и предполагает полное отсутствие в их ближайшем окружении как ионов Gd<sup>3+</sup>, так и Sc<sup>3+</sup>.

На основе анализа представленных на рис.2 спектров поглощения и данных по относительному распределению уровней состояния  $^2F_{7/2}$  ионов Ce<sup>3+</sup> в кристалле YAG:Ce, полученных при 13 К [11], определены схемы энергетических уровней  $^2F_{5/2}$  и  $^2F_{7/2}$  и идентифицированы переходы между ними при 300 К (табл.2) в кристалле YAG:Ce (0.66 ат%).

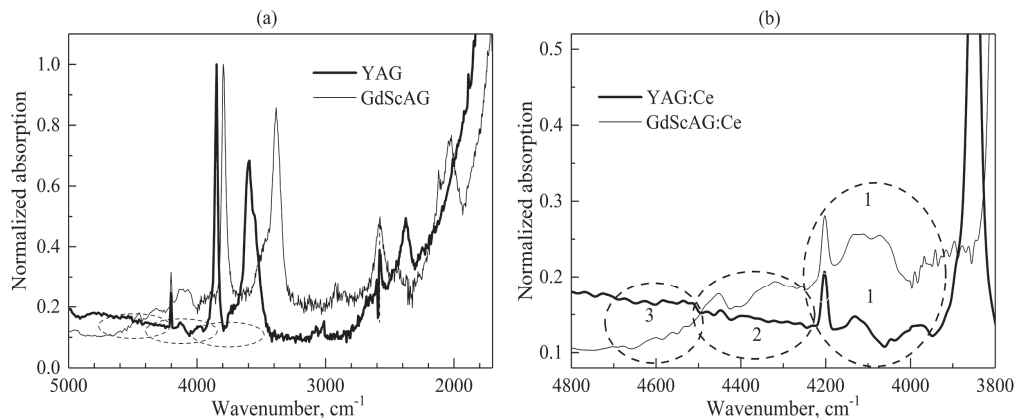


Рис.2. (а) Нормированные спектры поглощения кристаллов 1 – YAG:Ce (0.66 ат.%) и 2 – GdScAG:Ce (2.5 ат.% в расплаве) в области переходов  $^2F_{5/2} \rightarrow ^2F_{7/2}$  ионов Ce<sup>3+</sup>. (б) Фрагмент спектров, где отмечены области полос поглощения ионов Ce<sup>3+</sup>, занимающих октаэдрические позиции в кристаллах YAG:Ce (1) и в GdScAG:Ce (1–3).

Табл.2. Уровни энергии состояний  $^2F_{5/2}$  и  $^2F_{7/2}$  ионов Ce<sup>3+</sup> и переходы между ними в кристаллах YAG:Ce

Основное состояние $^2F_{5/2}$	№ уровня	$E, \text{см}^{-1}$	Переходы ионов Ce <sup>3+</sup> в кристалле YAG:Ce					
			Додекаэдрический узел иона Ce <sup>3+</sup>					
			$^2F_{5/2} \rightarrow ^2F_{7/2}$	$\text{см}^{-1}$	$^2F_{5/2} \rightarrow ^2F_{7/2}$	$\text{см}^{-1}$	$^2F_{5/2} \rightarrow ^2F_{7/2}$	$\text{см}^{-1}$
Состояние $^2F_{7/2}$	4	2094	$1 \rightarrow 4$	2094	$2 \rightarrow 4$	1844	$3 \rightarrow 4$	1798
	5	2250	$1 \rightarrow 5$	2250	$2 \rightarrow 5$	2000	$3 \rightarrow 5$	1954
	6	2375	$1 \rightarrow 6$	2375	$2 \rightarrow 6$	2125	$3 \rightarrow 6$	2079
	7	3848	$1 \rightarrow 7$	3848	$2 \rightarrow 7$	3597	$3 \rightarrow 7$	3552
Основное состояние $^2F_{5/2}$	1	0	Октаэдрический узел иона Ce <sup>3+</sup>					
	2	75	$^2F_{5/2} \rightarrow ^2F_{7/2}$	$\text{см}^{-1}$	$^2F_{5/2} \rightarrow ^2F_{7/2}$	$\text{см}^{-1}$	$^2F_{5/2} \rightarrow ^2F_{7/2}$	$\text{см}^{-1}$
	3	93						
Состояние $^2F_{7/2}$	4	4021	$1 \rightarrow 4$	4021	$2 \rightarrow 4$	3946	$3 \rightarrow 4$	3928
	5	4047	$1 \rightarrow 5$	4047	$2 \rightarrow 5$	3971	$3 \rightarrow 5$	3954
	6	4075	$1 \rightarrow 6$	4075	$2 \rightarrow 6$	4000	$3 \rightarrow 6$	3902
	7	4202	$1 \rightarrow 7$	4202	$2 \rightarrow 7$	4127	$3 \rightarrow 7$	4109

### 3.2. Межконфигурационные переходы ( $4f^1 5d^0 \rightarrow 4f^0 5d^1$ )

Следующая группа уровней, принимающая участие в процессах люминесценции ионов Ce<sup>3+</sup> принадлежит уровням 5d конфигурации и находится в области высокоэнергетического края прозрачности кристаллов (выше 52729 см<sup>-1</sup>). Основная часть спектра поглощения межконфигурационного перехода  $^2F_{5/2} \rightarrow ^2D_{3/2}$  ионов Ce<sup>3+</sup> в кристаллах YAG:Ce с различным содержанием активатора наблюдается в области 54000–12000 см<sup>-1</sup> (рис.3а). С увеличением концентрации активатора интенсивность разрешенных полос на 22285 см<sup>-1</sup> и 28798 см<sup>-1</sup> возрастает. Полуширины полос поглощения при различных концентрациях активатора составляют ~1700 и ~1800 см<sup>-1</sup>, соответственно. Для отмеченных полос не наблюдалось сколь-либо существенного спектрального сдвига при изменении концентрации активатора. Однако рассмотрение последовательных разностных спектров поглощения отмеченных кристаллов (рис.3б) позволило выявить структуру уровней основного состояния  $^2F_{5/2}$  внутри полосы на 22350 см<sup>-1</sup> (табл.3). Расстояния между пиками 1 и 2, а также между 1 и 3 соответствуют расстояниям между уровнями состояния  $^2F_{5/2}$  (табл.2). Наличие двух смешённых друг относительно друга групп (1, 2 и 3), т. е двух смешённых центров иона Ce<sup>3+</sup> объясняется разницей параметров элементарных ячеек кристалла с концентрацией Ce<sup>3+</sup> 0.073 ат% (12.006 Å) и кристаллов с концентрацией 0.15 и 0.21 ат% (12.007 Å).

Табл.3. Уровни энергии ионов Ce<sup>3+</sup> в кристаллах YAG:Ce, участвующие в переходах  $4f^1 5d^0 \rightarrow 4f^0 5d^1$

YAG:Ce					
Переход	Полоса	Энергия уровня, см <sup>-1</sup>	Переход	Полоса	Энергия уровня, см <sup>-1</sup>
$F_{5/2} \rightarrow ^2D_{3/2}$	1	$\approx 22285$	$^2F_{5/2} \rightarrow ^2D_{5/2}$	3	$\approx 44060$
	2	$\approx 29986$		4	$\approx 45889$
				5	$\approx 48380$

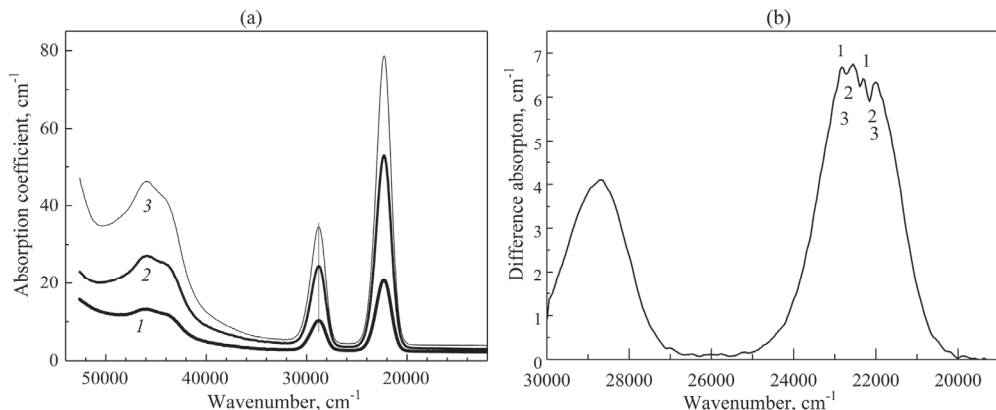


Рис.3. (а) Спектры поглощения ( $F_{5/2} \rightarrow ^2D_{3/2}$ ) кристаллов YAG:Ce с различным содержанием активатора: 1 – 0.073 ат%, 2 – 0.15 ат%, 3 – 0.21 ат%. (б) Разностные спектры полос поглощения отмеченных кристаллов.

### 3.3. Люминесценция ионов $Ce^{3+}$ в кристаллах YAG:Ce

Возбуждение спектров люминесценции ионов  $Ce^{3+}$  в кристаллах граната связано с необходимостью использования кристаллических образцов сравнительно крупного размера, спектр поглощения которых может быть чрезмерно интенсивным. На рис.4а приведены спектры поглощения и люминесценции ( $4f^1 5d^0 \leftrightarrow 4f^0 5d^1$ ) кристаллов YAG:Ce с концентрацией активатора 0.11 и 0.66 ат% с толщиной пластиинок 0.195 см.

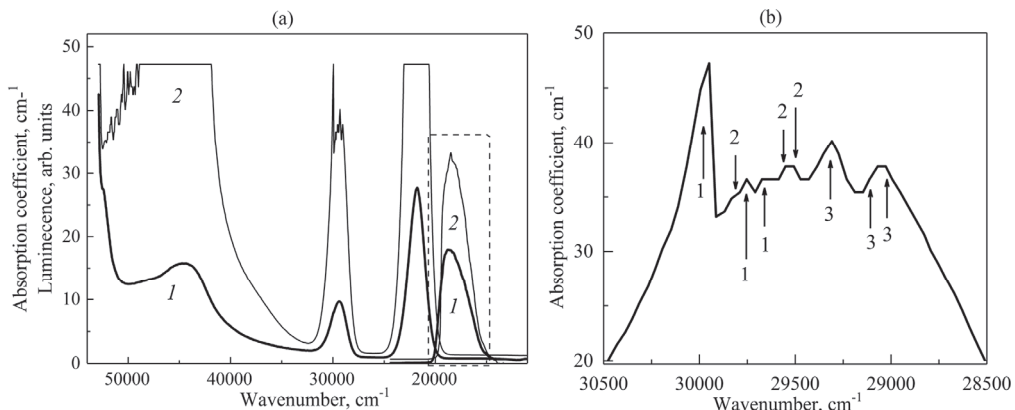


Рис.4. (а) Спектры поглощения кристаллов: 1 – YAG:Ce (0,11 ат%) и 2 – YAG:Ce (0,66 ат%) толщиной 0,195 см⁻¹; и увеличенные в 8 раз полосы люминесценции ионов  $Ce^{3+}$ , возбужденных галогенной лампой. Область излучения отмечена пунктирной линией. (б) Структура полосы поглощения на  $\approx 29986$  см⁻¹ кристалла YAG:Ce (0,66 ат%).

При одинаковых размерах образцов и условий возбуждения люминесценции для кристаллов с большей концентрацией активатора наблюдается увеличение интенсивности излучения ионов  $Ce^{3+}$  почти вдвое и сдвиг максимума излучения в низкоэнергетическую область. Кроме того, на вершине, единственной полностью видимой полосы поглощения на  $\approx 29986$  см⁻¹ (рис.4а,б), в кристалле

YAG:Ce (0.66 ат%) наблюдается структура полос, которая свидетельствует о наличии, как минимум, трех различных  $\text{Ce}^{3+}$ -центров, отмеченных стрелками на рис.4б. Расстояния между пиками внутри каждого из центров 1, 2 и 3 соответствуют величинам расщепления основного состояния  $^2F_{5/2}$  (табл.2). Повышение концентрации активатора и объема кристалла увеличивает долю смешанных уровней активатора из-за наличия различных дефектов и изменения параметра ячейки. Многоцентровая структура полос переходов  $^2F_{5/2} \rightarrow ^2D_{3/2,5/2}$  ионов  $\text{Ce}^{3+}$  (рис.3б и рис.4) не позволяет зафиксировать точное значение пика полос поглощения (в пределах  $500 \text{ cm}^{-1}$  и более).

Максимум полосы люминесценции кристалла YAG:Ce (0.11 ат%) представляет собой неравномерное плато (рис.5), образованное структурой нижнего возбужденного уровня состояния  $^2D_{3/2}$ . Как следует из рис.3б, низкоэнергетический уровень состояния  $^2D_{3/2}$ , в процессе возбуждения приобретает повторяющуюся структуру основного состояния  $^2F_{5/2}$ , где превалируют два центра, разных по интенсивности поглощения. Однако в спектрах поглощения кристалла YAG:Ce (0.66 ат%) идентифицируются три центра (рис.4б) и, соответственно, максимум излучения также образуется тремя (1, 2, 3) различными центрами (рис.5б и табл.4). Более того, те же самые максимумы излучения наблюдаются в объемном кристалле YAG:Ce (0.11 ат%) (рис.5).

В исследуемых кристаллах ширина уровней  $^2D_{3/2}$  формируется совокупностью уровней ионов  $\text{Ce}^{3+}$ , занимающих несколько отличающихся додекаэдрических узлов. Высокоэнергетическое крыло полос люминесценции формируется переходами с полосы  $\sim 22285 \text{ cm}^{-1}$  (5d) (табл.3) на уровни 5, 6 и 7 состояния  $^2F_{7/2}$  оболочки 4f додекаэдрических узлов ионов  $\text{Ce}^{3+}$  (табл.2). Низкоэнергетическое крыло полосы излучения в YAG:Ce (0.11 ат% и 0.66 ат%) ( $d = 0.19 \text{ см}$ ) частично

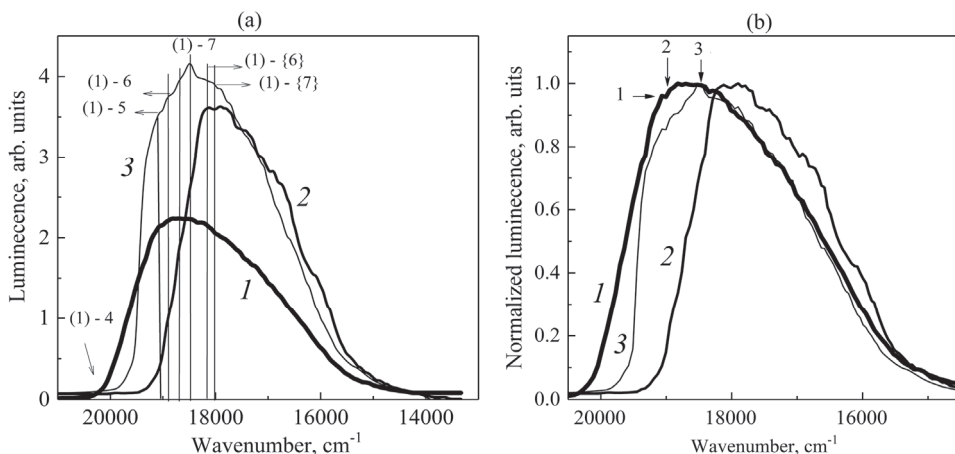


Рис.5. (а) Полосы люминесценции ионов  $\text{Ce}^{3+}$  в кристаллах YAG:Ce: 1 – Ce 0.11 ат% ( $d = 0.19 \text{ см}$ ), 2 – Ce 0.11 ат% ( $d = 0.90 \text{ см}$ ), 3 – Ce 0.66 ат% ( $d = 0.07 \text{ см}$ ). Вертикальными линиями отмечена часть идентифицированных переходов, принимающих участие в формировании полос люминесценции. (1) – первый уровень состояния  $^2D_{3/2}$  (табл.3), 4, 5, 6, 7 – уровни  $^2F_{7/2}$  додекаэдрических или октаэдрических ({}}) узлов ионов  $\text{Ce}^{3+}$  (табл.2). (б) Нормированные полосы люминесценции кристаллов, где стрелками отмечены максимумы пиков излучения 3-х различных центров ионов  $\text{Ce}^{3+}$  (табл.4).

формируется переходами с той же  $5d$  полосы, но на уровне  $^2F_{7/2}$  ( $4f$ ) октаэдрических узлов {} ионов  $\text{Ce}^{3+}$  (табл.2 и рис.5). Ниже  $\sim 18000 \text{ см}^{-1}$ , в кристалле YAG:Ce (0.11 ат%) ( $d = 0.90 \text{ см}$ ), в спектре люминесценции усиливаются интенсивности добавочных центров ионов  $\text{Ce}^{3+}$  из-за увеличения объема кристалла (рис.5). Значительное сужение полосы люминесценции этого кристалла в высокогенеретической области обусловлено реабсорбцией излучения заметно уширенной полосы поглощения на  $\sim 22285 \text{ см}^{-1}$ .

#### 4. Заключение

Интенсивность и форма полос люминесценции ионов  $\text{Ce}^{3+}$  в кристаллах YAG:Ce зависят от концентрации активатора, объема исследуемого образца и внутренних дефектов в структуре кристалла. Высокогенеретическое крыло полосы люминесценции формируется ионами  $\text{Ce}^{3+}$  додекаэдрических узлов кристалла, а низкогенеретическое – ионами октаэдрических узлов  $\text{Ce}_{\text{AL}}$ .

В кристаллах YAG:Ce (0.11 и 0.66 ат%) были обнаружены три различных центра ионов  $\text{Ce}^{3+}$ . Причиной образования многоцентровости кристаллов является величина коэффициента распределения иона активатора в растущем кристалле, который может быть либо больше, либо меньше единицы в зависимости от относительного размера активатора. Коэффициент распределения иона  $\text{Ce}^{3+}$  в YAG равен 0.1, что приводит к последовательному обогащению расплава ионами  $\text{Ce}^{3+}$  в процессе роста. Соответственно, увеличение концентрации ионов  $\text{Ce}^{3+}$  в растущем кристалле увеличивает и параметр элементарной ячейки. Этот эффект наглядно виден в высококонцентрированном кристалле (рис.4b), где градиент концентрации активатора приводит к смещению и уширению уровней энергии  $4f^1 5d^0 \leftrightarrow 4f^0 5d^1$  переходов. Уровни состояний  $4f$ , энергия которых на порядок или на два порядка меньше, существенно не изменяются по сравнению с межконфигурационными переходами.

Наличие октаэдрических узлов активатора ( $\text{Ce}_{\text{AL}}$ ) несколько расширяет область максимума излучения в кристалле с концентрацией 0.11 ат%, но при этом, изменяя свою валентность ( $\text{Ce}^{3+}_{\text{Al}} \leftrightarrow \text{Ce}^{4+}_{\text{Al}}$ ), образует буферную зону вблизи активатора, отвлекая на себя часть электронных дыроковых ловушек [10]. Увеличение в 6 раз содержания ионов  $\text{Ce}^{3+}$  в кристалле YAG:Ce (0.66 ат%) проявляет максимум излучения и способствует более резкому увеличению интенсивности излучения. Соответственно уменьшается ширина полос излучения  $3023 \text{ см}^{-1}$  для кристалла YAG:Ce (0.11 ат%) и  $2751 \text{ см}^{-1}$  для кристалла YAG:Ce (0.66 ат%).

Многоцентровая структура полос поглощения и люминесценции ионов  $\text{Ce}^{3+}$  на переходах  $4f \leftrightarrow 5d$  приводит к значительному разбросу экспериментальных данных [11] по определению энергии (или длины волны) как полос поглощения, так и люминесценции. Максимальная интенсивность того или иного центра будет определять максимальное положение полос поглощения и люминесценции ионов  $\text{Ce}^{3+}$ , а количество центров – ширину этих полос, что, в свою очередь, зависит от концентрации активатора и метода выращивания кристалла. Причиной многоцентровости могут быть также и различные дефекты в кристаллах: октаэдрические  $\text{Ce}^{3+}$  вблизи додекаэдрического иона  $\text{Ce}^{3+}$ , различные вакансии вблизи активатора и т.д.

Работа выполнена при поддержке Государственного Комитета по науке РА (Республики Армении) (проект 21AG-1C030).

## ЛИТЕРАТУРА

1. **J. Ueda, S. Tanabe.** Optical Materials: X, **1**, 100018 (2019).
2. **M. Moszynski, M. Kapusta, M. Mayhugh, D. Wolski, S.O. Flyckt.** IEEE Trans. Nucl. Sci., **44**, 1052 (1997).
3. **J.A. Mares, M. Nikl, A. Bejtlerova, C.D'Ambrosio, F. de Notaristefani, K. Blazek, P. Maly, K. Nejezchleb.** Optical Materials, **24**, 281 (2003).
4. **J.F. Owen, P.B. Dorain, T. Kobayashi.** J. Appl. Phys. **52**, 12161223 (1981).
5. **W.J. Miniscalco, J.M. Pellegrino, W.M. Yen.** J. Appl. Phys., **49**, 6109 (1978).
6. **V. Mürk, N. Yaroshevich.** In: Proc. Intern. Conf. on Inorganic Scintillators and Their Applications (SCINT-95), p. 359 (1996, Delft University Press).
7. **V.V. Laguta, A.M. Slipenyuk, M.D. Glinchuk, I.P. Bykov, Y. Zorenko, M. Nikl, J. Rose, K. Nejezchleb.** Radiat. Meas., **42**, 835 (2007).
8. **V. Babin, V.V. Laguta, A. Makhov, K. Nejezchleb, M. Nikl, S. Zazubobovich.** IEEE Trans. Nuclear Science, **55**, 1156 (2008).
9. **C.R. Stanek, K.J. McClellan, M.R. Levy, C. Milanese, R.W. Grimes.** Nucl. Instr. and Meth. in Phys. Research, **A579**, 27 (2007).
10. **T. Butaeva, I. Ghambaryan, M. Mkrtchyan.** Opt. Spectr., **118**, 247 (2015).
11. **H. Przybylinska, Ch.-G. Ma, M.G. Brik, A. Kaminska, P. Sybilska, A. Wittlin, M. Berkowski, Yu. Zorenko, V. Gorbenko, H. Wrzesinski, A. Suchocki.** Appl. Phys. Letters, **102**, 241112 (2013).
12. **M.M Kuklja.** Phys.: Condens. Matter, **12**, 295 (2000).
13. **Kh.S. Bagdasarov.** High-Temperature Crystallization from Melt. Yerevan, Edit Print, 2003.
14. **Д.Т. Свиридов, Р.К. Свиридова, Ю.Ф. Смирнов.** Оптические спектры ионов переходных металлов в кристаллах. Москва, Наука, 1975.
15. **R.D. Shannon.** Acta Cryst., **A32**, 751 (1976).

## FORMATION OF LUMINESCENCE BANDS OF $\text{Ce}^{3+}$ IONS IN YAG:Ce CRYSTALS

T.I. BUTAEVA, K.L. HOVHANNESYAN, A.V. YEGANYAN

The spectral features and structural factors influencing the formation of luminescence bands of  $\text{Ce}^{3+}$  ions in YAG:Ce crystals are considered. The energy levels of the  $4f$  shell of  $\text{Ce}^{3+}$  ions occupying both dodecahedral and octahedral sites of the crystal lattice have been determined. The participation of  $\text{Ce}^{3+}$  ions and  $\text{Ce}^{3+}\text{Al}$  ions in the structure of the luminescence band was shown and the multicenter structure of  $\text{Ce}^{3+}$  ions in the  $4f \leftrightarrow 5d$  transitions of the activator was determined.

$\text{Ce}^{3+}$  ԻՌԱՆԵՐԻ ԼՅՈՒՄԻՆԵՍԵՆՑԻՈՆ ՇԵՐՏԵՐԻ  
ԿԱԶՄԱՎՈՐՈՒՄ ՅԱԳ:Ce ԲՅՈՒՐԵԴՆԵՐՈՒՄ

Տ.Ի. ԲՈՒՏԱԵՎԱ, Կ.Լ. ՀՈՎՀԱՆՆԵՍՅԱՆ, Ա.Վ. ԵԳԱՆՅԱՆ

Ներկայացված աշխատանքում դիտարկված են YAG:Ce բյուրեղներում  $\text{Ce}^{3+}$  իոնների սպեկտրալ առանձնահատկությունները և կառուցվածքային գործնմերը, որոնք ազդում են ալտիվատորի լումինեսցենցիոն շերտերի կազմավորման վրա: Որոշված են  $\text{Ce}^{3+}$  իոնների  $4f$  շերտի էլեկտրոնային մակարդակները, որոնք զբաղեցնում են բյուրեղական ցանցում ինչպես դոդեկաէդրիկ, այնպես էլ օկտաէդրիկ հանգույցները: Ցույց է տրված դոդեկաէդրիկ և օկտաէդրիկ հանգույցներում գտնվող ակտիվատորի մասնակցությունը լումինեսցենցիոն շերտի կառուցվածքում և սահմանվել են ակտիվատորի  $4f \rightarrow 5d$  անցումների բազմակենտրոն կառուցվածքը: